УДК 546.883:546.719 +547-386

ПОЛУЧЕНИЕ АКТИВНЫХ КОМПОНЕНТОВ (Та, Re) БИМЕТАЛЛИЧЕСКИХ КАТАЛИЗАТОРОВ НА МАТРИЦАХ γ -Al,O, И TiO,

Е.С. Куликова^{1,@}, аспирант, Д.В. Дробот¹, заведующий кафедрой, А.В. Чистяков², старший научный сотрудник, М.В. Цодиков², профессор

¹Кафедра химии и технологии редких и рассеянных элементов, наноразмерных и композиционных материалов им. К.А. Большакова,

Московский технологический университет (Институт тонких химических технологий), Москва, 119571 Россия

Институт нефтехимического синтеза им. А.В. Топчиева РАН, Москва, 119991 Россия

Получен оксометилатный комплекс тантала и рения $Ta_4O_2(OCH_3)_{14}(ReO_4)_2$ из метилата тантала состава $Ta_2(OMe)_{10}$ и Re_2O_7 , который использован для получения катализаторов в реакциях кросс-конденсации и восстановительной дегидратации спиртов на основе γ - Al_2O_3 и TiO_2 , полученного методом сверхкритического флюидного антисольвентного осаждения (SAS). Образцы TiO_2 охарактеризованы совокупностью методов (ДТА, ДСК, РФА) и показано, что отжиг при 340° С позволяет получать TiO_2 анатазной модификации, который может служить матрицей для нанесения активных компонентов катализаторов. Выявлено различие результатов у неотожженных и отожжённых образцов после проведения ДТА в атмосфере кислорода и ДСК — в атмосфере гелия. Показано, что катализатор Ta- Re/Al_2O_3 позволяет превращать этанол и смеси этанола с глицерином в алифатические углеводороды C_3 - C_{11} . Установлено, что оптимальное содержание глицерина составляет 20% об., что обеспечивает снижение выхода тупиковой этан-этиленовой фракции и увеличение выхода целевой фракции углеводородов. Предложена принципиальная технологическая схема получения активных компонентов катализаторов в реакциях кросс-конденсации и восстановительной дегидратации спиртов.

Ключевые слова: оксометилатный комплекс тантала и рения, электрохимический синтез, кросс-конденсация, восстановительная дегидратация спиртов, SAS-технология, алкоксид, метилат тантала, диоксид титана.

OBTAINING ACTIVE COMPONENTS (Ta, Ra) OF BIMETALLIC CATALYSTS ON γ -Al,O, AND TiO, MATRICES

E.S. Kulikova^{1,@}, D.V. Drobot¹, A.V. Chistyakov², M.V. Tsodikov²

¹Moscow Technological University (Institute of Fine Chemical Technologies), Moscow, 119571 Russia

² A.V. Topchiev Institute of Petrochemical Synthesis RAN, Moscow, 119991 Russia [®]Corresponding author e-mail: lizchkakul@mail.ru

Tantalum methylate of general formula $Ta_2(OMe)_{10}$ was synthesized by electrochemical synthesis as a precursor for obtaining oxomethylate complexes of tantalum and rhenium. The complex is used to prepare catalysts in reactions of cross-condensation and reductive dehydration of alcohols. The catalysts are based on γ -Al $_2O_3$ and TiO_2 . Ultradisperse and nanosized TiO_2 is obtained by the supercritical fluid technology. The sample is characterized by different methods (DTA, XRD, DSC). It is shown that annealing at 340°C allows obtaining anatase modification of TiO_2 with a

²Лаборатория «Каталитических нанотехнологий»,

[®]Автор для переписки, e-mail: lizchkakul@mail.ru

specific surface of 27.3 sq.m/g which can serve as a matrix for drawing active components of catalysts. It is shown that the Ta-Re/ Al_2O_3 catalyst allows transforming ethanol and mixtures of ethanol with glycerin into aliphatic hydrocarbons C_3 - C_{11} . A technological scheme for obtaining active components of the catalysts for cross-condensation and reductive dehydration of alcohols is suggested.

Keywords: tantalum and rhenium oxomethylates complex, electrochemical synthesis, cross-condensation, reducitive dehydration of alcohols, SAS-technology, alkoxide, tantalum methoxide, titanium dioxide.

Введение

Сегодня до 84% моторных топлив производятся из различных углеводородов [1]. Эта ситуация сохранится в течение ближайшего десятилетия. Оценки запасов углеводородов, пригодных для промышленного использования, существенно разнятся. Однако во всех случаях такое положение порождает необходимость вовлечения в сферу промышленного использования возобновляемых источников энергии [2].

Перспективным возобновляемым сырьем является биомасса. Суммарное количество биомассы, покрывающей землю, 800 млрд. т, в том числе, возобновляемая биомасса 200 млрд. т [3, 4]. Одним из наиболее распространенных первичных продуктов разложения биомассы является биоэтанол, который не может быть использован напрямую. Для получения необходимых топливных углеводородов либо нефтехимических субстратов из биоэтанола с помощью реакций кросс-конденсации и восстановительной дегидратации спиртов применяют нанокомпозитные каталитические материалы [5]. Кросс-конденсация между спиртами является перспективным направлением получения предшественников качественных добавок к моторному топливу [6].

Комплексы d-элементов и сами металлы легко взаимодействуют с молекулярным водородом, активируя его для реакций гидрирования/дегидрирования. Именно поэтому переходные металлы используются как катализаторы реакций гидрирования/ дегидрирования [7, 8]. Кроме того, в связи с увеличившимся потреблением рения в качестве катализатора необходимо развивать методы, которые бы позволили улучшить каталитическую активность за счет внедрения других металлов в матрицу. Одним из наиболее перспективных направлений для решения этой проблемы является алкоксотехнология, в рамках которой можно получать материалы с заданными свойствами и составом [9, 10]. Алкоксиды переходных металлов могут быть использованы в качестве прекурсоров для нанокомпозитных каталитических материалов.

Цель настоящей работы состояла в получении биметаллического метилата рения и тантала с последующим нанесением на γ -Al₂O₃ и на TiO₂, полу-

ченного методом SAS (Supercritical Anti-Solvent), для использования в качестве катализаторов в реакциях кросс-конденсации и восстановительной дегидратации спиртов, позволяющих получать моторные топлива или присадки к ним.

Экспериментальная часть

В качестве прекурсора использовали оксометилатный комплекс тантала и рения ${\rm Ta_4O_2(OCH_3)_{14}(ReO_4)_2}$, который получали из метилата тантала состава ${\rm Ta_2(OMe)_{10}}$ и ${\rm Re_2O_7}$.

Метилат тантала синтезировали электрохимическим методом, описанным в работах [11, 12], с использованием ячейки без разделения анодного и катодного пространств и электродов: (-) катод - платина, (+) анод - тантал. На стадии получения метилатов использовали следующие материалы и реактивы: металлические пластины тантала (чистота 99.9%) и платины (чистота 99.9%), металлическая стружка магния (чистота 95%), метанол (Merck КдаА, чистота ≥99.5%, х.ч.), водный раствор аммиака (ГОСТ 24145 – 80, о.с.ч.), хлорид лития (Merck КдаА, ч.). Из-за повышенной чувствительности метилатов к влаге метанол осущали нагреванием с металлической стружкой магния [13]. Конечное содержание воды составило менее 0.01%. Хлорид лития для проведения электролиза в спиртовых средах обезвоживали по методике, описанной в работе [14]. Хлорид лития впоследствии удаляли гексаном (ТУ 2631-006-29483781-2008, х.ч.)

Оксид рения(VII) получали из металлического порошка рения (чистота 99.9%) при нагревании в токе кислорода при 400°C.

Синтез оксометилатного комплекса тантала и рения состава ${\rm Ta_4O_2(OCH_3)_{14}(ReO_4)_2}$ осуществляли в «сухом» боксе. Порошок ${\rm Ta_2(OCH_3)_{10}}$ растворили в 25 мл обезвоженного толуола, и к полученному раствору добавили порошок оксида рения(VII). Массу порошка ${\rm Re_2O_7}$ взяли из массового соотношения ${\rm Ta:Re=4:1.}$ Смесь при постоянном перемешивании выдержали при комнатной температуре (21°C) в течение 5 мин и при 35°C — в течение 45 мин, после чего кипятили с обратным холодильником в течение 8 мин, но без перемешивания. Полученный комплекс идентифи-

цировали методами РФА и ИК-спектроскопии [11, 15].

В качестве одного из носителей служил TiO₂ двух типов, который получали методом SAS (Supercritical Anti-Solvent). Сверхкритическое антисольвентное флюидное осаждение проводили на лабораторной системе диспергирования, модель SAS-50 (Thar Technologies, США). Рабочее давление 10-20 МПа, температура системы 80°С, скорость потока СК-СО₂ 5 г/мин, скорость подачи раствора в реактор 45 мл/мин [16, 17]. Отличие образцов состояло в том, что второй образец после получения отжигали при 340°С. Полученные образцы исследовали методами термогравиметрического и рентгенофазового анализа, их состав устанавливали методом химического элементного анализа и измеряли удельную поверхность.

Раствор оксометилатного комплекса тантала и рения ${\rm Ta_4O_2(OCH_3)_{14}(ReO_4)_2}$ в толуоле наносили на матрицу ${\rm TiO}_2$, методом опрыскивания.

Другим носителем выступал γ -Al $_2$ O $_3$, на который оксометилатный комплекс наносили пропиткой по влагоемкости [18].

Испытания катализатора Re-Ta на матрице

 $\gamma\text{-Al}_2\mathrm{O}_3$ проводили в Институте нефтехимического синтеза РАН в проточно-циркуляционной установке, представленной на рис. 1.

Анализ ТіО, на содержание С, Н выполняли на приборе Heraeus CHN-O-RAPID. Содержание металла в алкоксиде тантала определяли гравиметрическим методом [19]. Дифференциально-термический анализ (ДТА) [20] проводили на дериватографе Q-1500 D (F. Paulik, J. Paulik, L. Erdey; МОМ, Венгрия). Рентгенофазовый анализ (РФА) [21] выполняли на дифрактометре Shimadzu XDR 6000 (излучение СиК,, вращение образца, непрерывный (1 град/ мин), пошаговый (шаг 0.02°, экспозиция 10 с) режимы в интервале углов 20 10°-60°). При идентификации фаз использовали картотеку ICDD – JCPDS. ИК-спектры [22] суспензий в вазелиновом масле между пластинами КВг регистрировали на приборе EQUINOX 55 Bruker Germany. Определение ТГ-ДСК образцов проводили с помощью синхронного термоанализатора с платиновой печью STA 449 F1 Jupiter® фирмы "Netzsch-Geratebau GmbH", Германия. Анализ полученных данных проводили помощью программы Netzsch Proteus Analysis v.5.2.1.

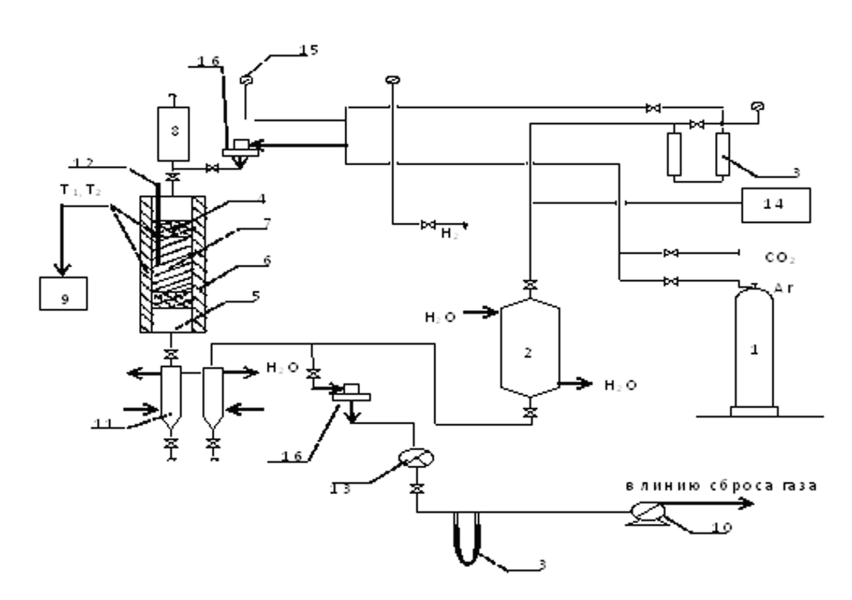


Рис 1. Схема проточно-циркуляционной установки для изучения реакции восстановительной дегидратации спиртов: 1 — газовый баллон, 2 — газовый циркуляционный насос, 3 — реометры, 4 — слой насадки, 5 — реактор, 6 — электрическая печь, 7 — слой катализатора, 8 — жидкостной насос, 9 — регулятор температуры, 10 — газовый счетчик, 11 — охлаждаемые газосепараторы, 12 — капилляр с термопарой, 13 — трехходовой кран, 14 — блок управления, 15 — датчик давления, 16 — регуляторы давления.

Результаты и их обсуждение

Диоксид титана получали с использованием SAS-технологии и исследовали методами термогравиметрического и рентгенофазового анализа. На рис. 2 представлена термогравитограмма синтезированного диоксида титана. Выявлено наличие двух эндотермических (T=35°C, T=230°C) и одного экзотермического эффектов (T=370°C). Эндо-эффекты могут быть связаны с процессом дегидратации, а также с уда-

лением органических составляющих. Экзотермический эффект при 370°C обусловлен, вероятнее всего, процессом кристаллизации полученного диоксида титана. Потери массы образца связаны с удалением оставшейся после проведения синтеза органической фазы. Убыль массы образца составляет 8.0% мас. от исходной.

Рентгенофазовый анализ показал, что синтезированный диоксид титана является рентгеноаморфным. Другой образец диоксида титана, полученный тем же методом и при тех же условиях отожгли при 340°C и сняли его рентгенограмму (рис. 3). Модифи-

кация диоксида титана — анатаз, со следующими параметрами решетки: a=3.785(3); c=9.484(3).

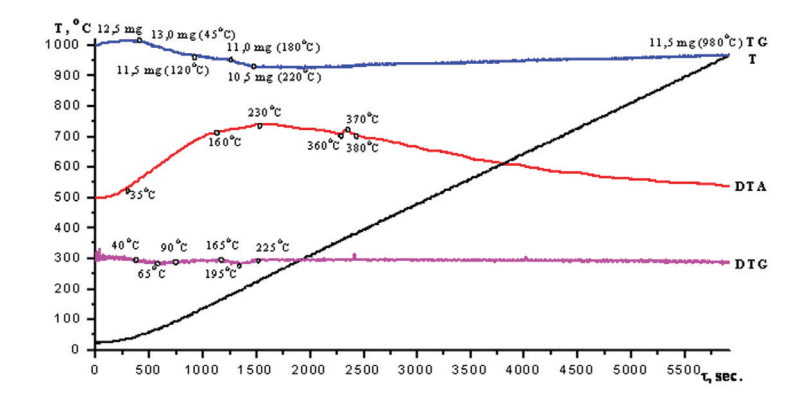


Рис. 2. Термогравитограмма диоксида титана, полученного методом SAS.

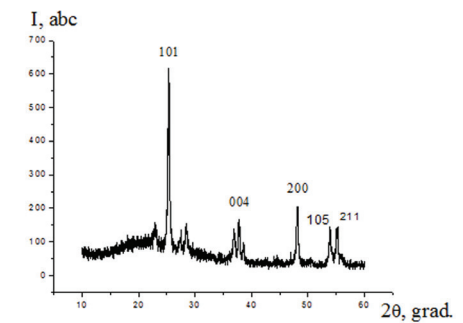
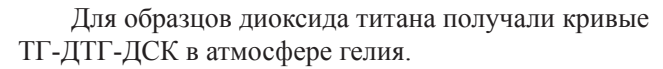
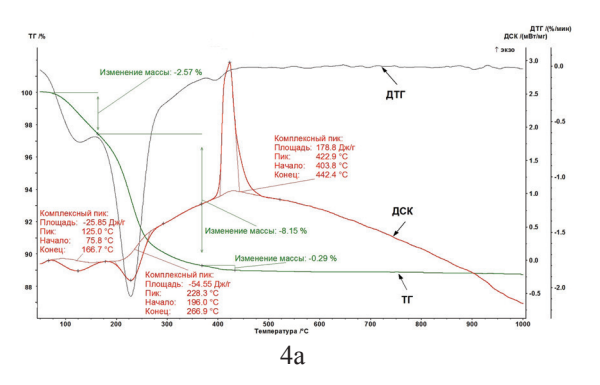


Рис. 3. Результаты рентгенофазового анализа отожженного при 340°C диоксида титана.



На кривой ДСК обнаружены два эндотермических эффекта (в интервале температур 40–300°С), связанные с испарением адсорбционной влаги и связующего компонента. При дальнейшем повышении температуры, в интервале 400–450°С, возникает экзотермический эффект, отвечающий кристаллизации диоксида титана (рис. 4а).

У отожженного образца тепловых эффектов не обнаружено (рис. 4б).



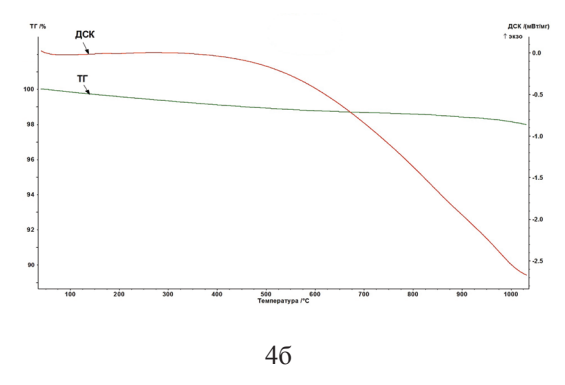


Рис. 4. Кривые ТГ-ДТГ-ДСК: а) для диоксида титана, полученного методом SAS, б) для образца, отожженного при 340°C.

По данным химического анализа, найдено для диоксида титана, полученного методом SAS, % мас: 4.3 C, 0.85 H, а для образца, отожженного при 340° C, % мас: 3.9 C, 0.78 H.

Наличие углерода и водорода в полученных оксидах может быть обусловлено присутствием в них незначительного количества неразложившегося прекурсора либо сорбцией продуктов реакции и паров воды.

Для обоих образцов измерили удельную поверхность, размер частиц, объем пор. Основные характеристики представлены в табл. 1.

Предварительно взвешенный носитель, в нашем случае это диоксид титана двух видов — отожженный и неотожженный, опрыскивали раствором оксометилатно-

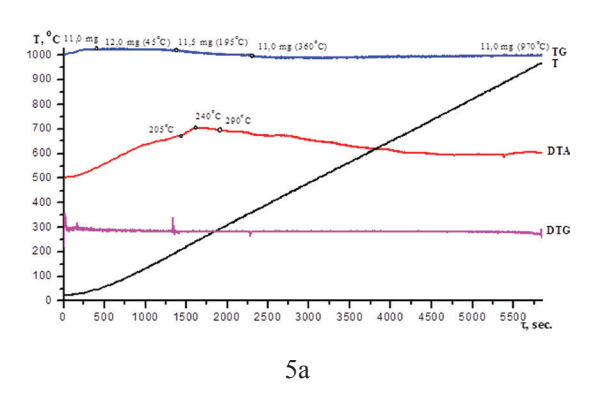
го комплекса тантала и рения в толуоле. В дальнейшем неотожженный и пропитанный образец диоксида титана – образец 1, а отожженный и пропитанный – образец 2.

После опрыскивания наблюдался прирост в массе, для образца 2 он составил 0.0388 г, а для образца 1-0.0238 г.

Термогравитограммы образцов диоксида титана после нанесения синтезированного комплекса приведены на рис. 5.

У образца 1 при 240°C наблюдается экзотермический эффект, связанный с началом процесса кристаллизации диоксида титана (рис. 5а).

У образца 2 тот же эффект наблюдался при 335°C (рис. 5б).



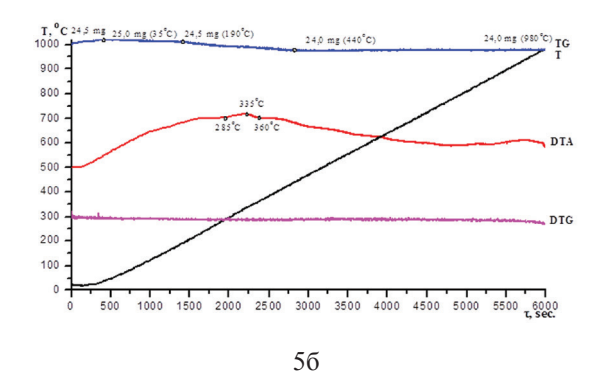


Рис. 5. Термогравитограммы диоксида титана, пропитанного оксометилатным комплексом Та и Re: а) TiO, неотожженный (образец 1), б) TiO, - отожжен при 340°C (образец 2).

Таблица 1. Характеристики удельная поверхности TiO,

Voncernonversure	F	Образцы TiO ₂		
Характеристика	Единицы измерения	ТіО ₂ , полученный методом SAS	ТіО ₂ , отожженный при 340°С	
Удельная поверхность по БЭТ, АБЭТ	M ² /Γ	209.1	27.3	
Константа уравнения БЭТ, СБЭТ	-	-62	43	
Удельная поверхность по сравнительному методу, ACM	M^2/Γ	19.6	28.8	
Объем нанопор (диаметр менее 100 нм)	см ³ /г	0.129	0.03	
Объем ультрананопор (диаметр менее 2 нм)	см ³ /г	0.075	0.007	
Средний размер частиц	HM	27	18	

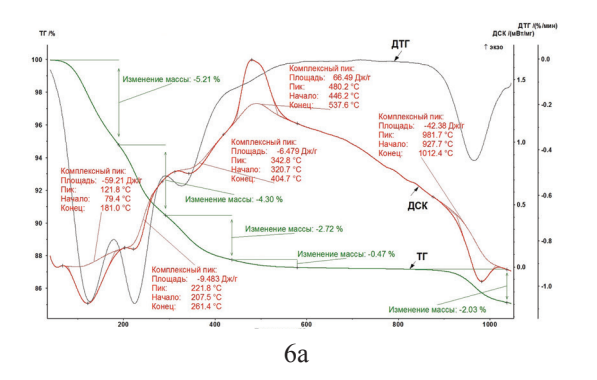
Для обоих образцов определены величины удельной поверхности. Для образца 2, в котором диоксид титана был отожжен, размер удельной поверхности составил 3.3 м²/г в случае первого измерения и 3.7 м²/г при повторном измерении. Для неотожженного образца 1 первое измерение дало 45.4 м²/г, а второе -45.2 м²/г.

Полученные данные позволяют полагать, что оксометилатный комплекс тантала и рения занял место в свободных порах диоксида титана, вследствие чего удельная поверхность уменьшилась.

Для образцов были получены кривые ТГ-ДТГ-

ДСК в атмосфере гелия. Для образца 1 на кривой обнаружено три последовательных эндотермических эффекта. При дальнейшем нагревании обнаружен экзотермический эффект, отвечающий кристаллизации диоксида титана, а также эндотермический эффект, возникший за счет полного удаления органической составляющей и адсорбированной воды (рис. 6а).

Для образца 2 на кривой обнаружены три эндотермических эффекта, причем эффекты в интервале температур 70−155°С и 840−870°С небольшие по величине и не имеют явно выраженного экстремума (рис. 6б).



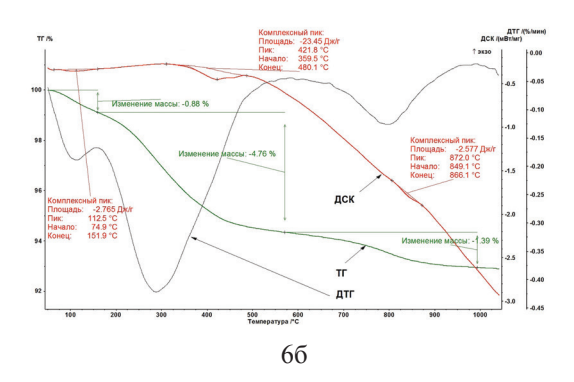


Рис. 6. Кривые ТГ-ДТГ-ДСК: а) для образца ${\rm TiO}_2$, неотожженного и пропитанного оксометилатным комплексом Та и Re (образец 1); б) для образца ${\rm TiO}_3$, отожженного и пропитанного оксометилатным комплексом Та и Re (образец 2).

Для образцов 1 и 2 были получены ИК-спектры, которые подтвердили наличие оксометилатного комплекса тантала, рения в матрице диоксида титана. Так, у образца 2 при 1169-1095 см⁻¹ обнаружены полосы поглощения, соответствующие колебаниям связи Та-O, а при 493 см⁻¹ – полосы поглощения, соответствующие колебаниям связи Re-O(R). У образца 1 при 1101 см-1 обнаружены полосы поглощения, соответствующие колебаниям связи Та-О, а при 742 см-1 - полосы поглощения, соответствующие колебаниям связи Re-O.

У обоих образцов полосы поглощения при 3402 и 3389 см-1 соответствуют колебаниям ОН-группы молекул воды. Поглощение в области 1640, 1625 см-1 обусловлено деформационными колебаниями молекул координационно-связанной или адсорбированной воды. При 1007 см⁻¹ присутствуют полосы поглощения, которые соответствую колебаниям связи Ті-О. Имеются также полосы в области 630-620 см-1, характерные для соединения с мостиковыми связями Та-О, образующими «бесконечные цепи» М-О...М [13, 23].

Кроме того, были сняты рентгенограммы пропитанных образцов. Образец 1 рентгеноаморфен, как и диоксид титана, полученный методом SAS, но по сравнению с исходным образцом у образца 1 за счет наличия других соединений уменьшилась интенсивность. У образца 2, наоборот, произошло увеличение интенсивности (рис. 7). Модификация диоксида титана – анатаз, со следующими параметрами решетки: a=3.780(3); c=9.483(3).

Сравнительная характеристика отожженного, отожжённого и пропитанного диоксида титана, а также стандарта из базы ICCD-JCPDS представлена в табл. 2.

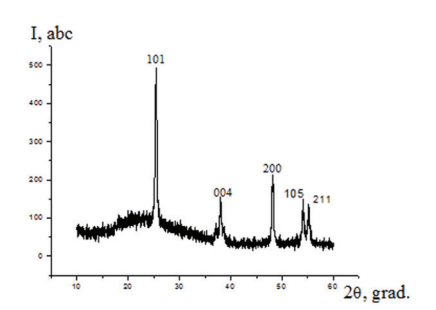


Рис. 7. Результаты рентгенофазового анализа для образца ТіО2, отожженного и пропитанного оксометилатным комплексом Та и Re (образец 2).

Данные ICCD-JCPDS: TiO, Экспериментальные данные

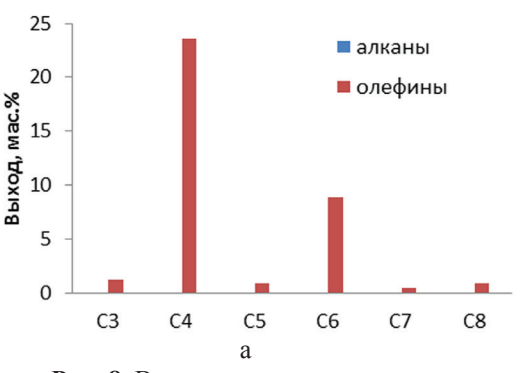
Таблица 2. Сравнительная таблица рентгенометрических данных TiO₂

No	${ m TiO}_2$, отожженный при 340° C, параметры ячейки: a =3.785(3); c =9.484(3)		${ m TiO}_2$, отожженный и пропитанный оксометилатным комплексом Та и Re, параметры ячейки: a =3.780(3); c =9.483(3)		(анатаз) – тетрагональная сингония (17560), параметры ячейки: <i>a</i> =3.785; <i>c</i> =9.5714			
	Интенсив- ность, %	Брегговский угол, 20°	Межплоскост- ное расстоя- ние, d, Å	Интенсив- ность, %	Брегговский угол, 20°	Межплоскост- ное расстоя- ние, d, Å	Брегговский угол, 20°	hkl
1	100	25.37	3.511	100	25.42	3.504	25.32	101
2	25.1	37.91	2.373	22.5	37.98	2.369	37.83	004
3	35.1	48.11	1.891	44.7	48.15	1.89	48.09	200
4	19.2	54.11	1.695	21.7	54.08	1.696	53.93	105
5	20.5	55.06	1.668	22.7	55.18	1.665	55.09	211

Изучена каталитическая активность Ta-Re-системы, нанесенной на ү-Аl₂О₃, в реакциях превращения этанола и его смеси с глицерином в алифатические углеводороды C_3 – C_{11} , которые могут быть использованы в качестве компонентов моторных топлив или исходных веществ для широкого ряда нефтехимических процессов.

Найдено, что при температуре 350°C, объёмной скорости подачи сырья 0.6 ч-1 и давлении 5 ат (Не) этанол превращается в метан, этан-этиленовую фракцию, углеводороды С₃-С₈, оксигенаты и воду (рис. 8а, табл. 3). Выход целевой фракции углеводородов С₂-С₂ составляет 36% масс. из расчета на пропущенный углерод. Как видно из рис. 8, основными продуктами являются углеводороды с четным числом атомов углерода в своем скелете. Образование небольшого количества углеводородов с нечетным числом атомов водорода, вероятно, свидетельствует о протекании процессов крекинга и метатезиса образующихся углеводородов.

В настоящее время интенсивно развивается процесс производства биодизеля, главным образом первого поколения, представляющего собой эфиры (метилаты или этилаты) жирных кислот. В результате образуется большое количество сопутствующего продукта - глицерина, содержащего значительные количества переэтерифицирующего спирта. Задача выделения чистого глицерина является весьма сложной и дорогостоящей. Поэтому представляется более перспективным использовать смесь глицерина и этанола для производства дополнительного количества топливных углеводородов путем одностадийной



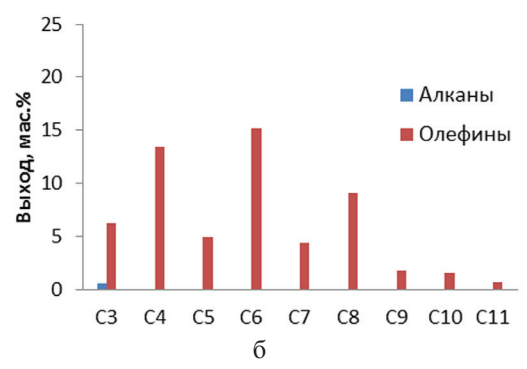


Рис. 8. Выход углеводородов в присутствии катализатора Re–Ta/Al $_2$ O $_3$ (350°C, 5 at., He, 0.6 ч $^{-1}$): а) продуктов превращения этанола; б) продуктов превращения смеси 20% об. глицерина и 80% об. этанола.

реакции кросс-конденсации, протекающей в идентичных условиях, что и описанный выше пример по конверсии этанола.

В результате совместного превращения смеси, содержащей 80% об. этанола и 20% об. глицерина, в присутствии катализатора Re-Ta/Al₂O₃ достигнут выход целевой фракции углеводородов С₃-С₁₁ 57.5% мас. (рис. 8б, табл. 4). Из представленных данных видно, что добавка глицерина увеличивает выход целевой фракции углеводородов на 21.5% мас. и на 40% мас. снижает образование этан - этиленовой фракции. Вероятно, этилен образуется на кислотных центрах катализатора и, как было установлено ранее, является тупиковым продуктом в присутствии металлоксидных катализаторов. В свою очередь, глицерин уже при температуре свыше 190°C превращается в акролеин, который может вступать во взаимодействие с образующимся на поверхности катализатора этиленом. В пользу данного предположения также свидетельствует тот факт, что в продуктах реакции значительно увеличивается количество углеводородов с нечетным числом атомов углерода (рис. 8б). Таким образом, протекает именно процесс кросс-конденсации углеводородных остовов различных субстратов.

Таблица 3. Выход основных продуктов превращения этанола и смеси этанола с глицерином (80:20) в присутствии катализатора Re–Ta/Al $_2$ O $_3$ (350° C, 5 at., He, $0.6 \, \text{g}^{-1}$)

	Сырье			
Выход продуктов	этанол %, мас.	этанол $+$ глицерин, $\%$ мас.		
метан	0.04	0.03		
этан + этилен	59.78	19.83		
углеводороды C_{3+}	35.90	57.42		
оксигенаты	4.13	16.54		
ароматика	0.00	3.49		
CO+CO ₂	0.00	2.57		
H_2	0.15	0.12		
	100.00	100.00		

Таблица 4. Состав оксигенатов, получаемых в ходе конверсии смеси этанола с глицерином

Состав оксигенатов	Содержание, % мас.	
ацетальдегид	1.87	
диэтиловый эфир	6.36	
бутаналь	1.64	
бутанол	13.72	
этилбутиловый эфир	17.41	
гексанол	10.17	
этилацетат	9.55	
бутилацетат	6.73	
этилгексиловый эфир	11.12	
гексанол	12.28	
октанол	9.14	
	100	

Интересно отметить, что в ходе совместной переработки этанола и глицерина получено 16.5% мас. оксигенатов, их состав представлен в табл. 4. Полученные соединения могут быть использованы без разделения в качестве компонентов дизельного топлива либо после разделения – как растворители или промежуточные продукты нефтехимии.

С целью определения оптимального соотношения этанола и глицерина в сырьевой смеси проведен ряд экспериментов с различными исходными концентрациями сореагентов. Ниже представлены результаты конверсии смеси 60% этанола – 40% глицерина (рис. 9).

Выход целевой фракции углеводородов C_3 – C_9 составил 44% мас., что на \sim 10% меньше, чем в вышеописанном примере с 20% глицерина. Главным образом, увеличение содержания глицерина в исходной смеси с этанолом способствует образованию кислородсодержащих соединений. Их количество увеличилось практически вдвое — до 30% масс. При дальнейшем увеличении доли глицерина в исходной смеси селективность реакции кардинально меняется: алифатические углеводороды практически не

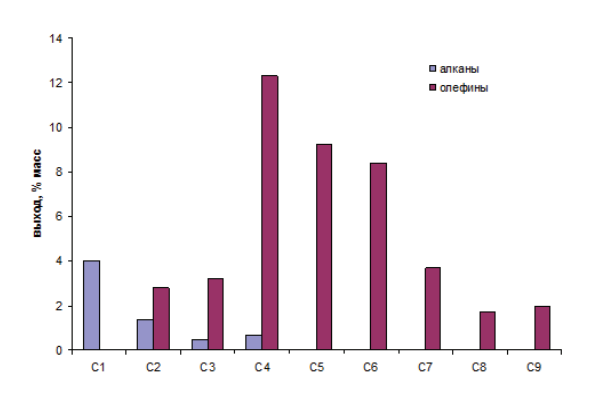


Рис. 9. Выход продуктов превращения смеси 60% этанола и 40% глицерина.

образуются, а образуется трудно идентифицируемая смесь оксигенатов, а также смолы, формирующиеся в результате полимеризации акролеина — продукта термического разложения глицерина. Вероятно, при избытке глицерина в системе поверхность катализатора заполняется молекулами акролеина и продуктами их взаимодействия, что препятствует попаданию этанола на активные центры и уменьшает вклад процесса кросс—конденсации. В пользу данного предположения косвенно свидетельствует и наличие непревращенного этанола в продуктах конверсии смеси 20% этанола и 80% глицерина.

Список литературы:

- 1. Моисеев И.И. // Химия и жизнь. 2015. № 8. С. 20–25.
- 2. Цодиков М. В., Яндиева Ф. А., Чистяков А. В., Губанов М. А., Гехман А. Е., Моисеев И.И. // Докл. АН [Doklady Chemistry]. 2012. Т. 447. № 5. С. 534–537.
- 3. Demirbas A. // Energy Edu SciTechnol. 2006. V. 16. P. 53–109.
- 4. Жарова П.А., Чистяков А.В., Завелев Д.Е., Кривенцов В.В., Якимчук Е.П., Крыжовец О.С., Петракова О.В., Дробот Д.В., Цодиков М.В. // Изв. РАН. Сер. хим. 2015. № 2. С. 337–345.
- 5. Чистяков А.В., Цодиков М.В., Мурзин В.Ю., Яндиева Ф.А., Зубавичус Я.В., Козицына Н.Ю., Гехман А.Е., Кривенцов В.В., Моисеев И.И. // Кинетика и катализ. 2011. Т. 52. № 2. С. 266–281.
- 6. Флид В.Р., Леонтьева С.В., Эфрос И.Е., Манулик О.С., Цодиков М.В., Лахман Л.И. // Вестник МИТХТ. 2008. Т. 3. № 4. С. 44–48.
- 7. Металлокомплексный катализ в органическом синтезе и синтезе полимеров : http://www.unn.ru/chem/neft/htmls/index.php?page=catalitic (дата обращения 27.03.2014)
- 8. Цодиков М.В., Чистяков А.В., Губанов М.А., Хаджиев С.Н., Гехман А.Е., Моисеев И.И. // Изв.

Выводы

Получены образцы ${\rm TiO}_2$, которые охарактеризованы совокупностью методов (ДТА, ДСК, РФА) и показано, что отжиг при 340°C позволяет получать ${\rm TiO}_2$ анатазной модификаций с удельной поверхностью 27.3 м²/г, который может служить матрицей для нанесения активных компонентов катализаторов. Удельная поверхность ${\rm TiO}_2$, пропитанного оксометилатным комплексом тантала и рения, составила 3.7 м²/г.

Выявлено различие результатов у неотожженных и отожжённых образцов после проведения ДТА в кислороде и ДСК в аргоне.

Выявлено, что у ${\rm TiO}_2$ пропитанного оксометилатным комплексом тантала и рения не изменяются параметры решетки, а, следовательно, и структура.

Получен метилат тантала и рения, который использован для получения катализаторов в реакциях кросс - конденсации и восстановительной дегидратации спиртов на основе γ -Al,O₃.

В ходе проведенных экспериментов показано, что присутствие в реакционной смеси катализатор аТа-Re/Al $_2$ O $_3$ способствует превращению этанола и смеси этанола с глицерином в алифатические углеводороды С $_3$ -С $_{11}$ с выходом, достигающим 57% масс. Установлено, что оптимальная содержание глицерина составляет 20% об., что обеспечивает снижение выхода тупиковой этан—этиленовой фракции на 40% масс. и одновременно увеличение выхода целевой фракции углеводородов — на 20% масс.

References:

- 1. Moiseev I.I. // Himija i zhizn' [Chemistry and Life]. 2015. № 8. P. 20–25.
- 2. Tsodikov M. V., Yandieva F.A., Chistyakov A.V., Gubanov M.A., Gekhman A.E., Moiseev I.I. // Doklady AN [Doklady Chemistry]. 2012. V. 447. № 5. P. 534–537.
- Demirbas A. // Energy Edu SciTechnol. 2006.
 V. 16. P. 53–109.
- 4. Zharova P.A., Chistyakov A.V., Zavelev D.E., Kriventsov V.V., Yakimchuk E.P., Kryzhovets O.S., Petrakova O.V., Drobot D.V., Tsodikov M.V. // Izvestiya RAN (Ser. khim.) [Rus. Chem. Bull.]. 2015. № 2. P. 337–345.
- 5. Chistyakov A.V., Tsodikov M.V., Murzin V.Yu., Yandieva F.A., Zubavichus JA.V., Kozitsyna N.Yu., Gekhman A.E., Kriventsov V.V., Moiseev I.I. // Kinetika i kataliz (Kinetics and Catalysis). 2011. T. 52. № 2. P. 266–281.
- 6. Flid V.R., Leont'eva S.V., Efros I.E., Manulik O.S., Tsodikov M.V., Lakhman L.I. // Vestnik MITHT [Fine Chem. Tech.]. 2008. V. 3. № 4. P. 44–48.
- 7. Metallokompleksnyj kataliz v organicheskom sinteze i sinteze polimerov (Metal complex catalysis in organic synthesis and polymer synthesis): http://www.unn.ru/chem/neft/htmls/index.php?page=catalitic (data obrashhenija 27.03.2014)
- 8. Tsodikov M.V., Chistyakov A.V., Gubanov M.A., Khadzhiev S.N., Gekhman A.E., Moiseev I.I. // Izvestiya RAN (Ser. khim.) [Rus. Chem. Bull.]. 2013. № 3. P. 819–828.

- РАН. Сер. хим. 2013. № 3. С. 819-828.
- 9. Дробот Д.В., Щеглов П.А., Никишина Е.Е., Лебедева Е.Н., Зимина Г.В., Смирнова И.Н., Фомичев В.В. // Вестник МИТХТ. 2006. Т. 1. № 6. С. 5–15.
- 10. Дробот Д.В., Щеглов П.А., Никишина Е.Е., Лебедева Е.Н. // Неорган. материалы. 2007. Т. 43. № 5. С. 1–9.
- 11. Щеглов П.А. Моно-, би- и триметаллические оксоалкоксопроизводные (синтез, свойства и применение): автореф. дис. . . . канд. хим. наук. М., 2002. 25 с.
- 12. Turova N.Ya., Korolev A.V., Tchebukov D.E., Belocon A.I., Yanovsky A.I., Struchkov Yu.I. // Polyhedron. 1996. V. 15. № 21. P. 3869–3880.
- 13. Накамото К. Инфракрасные спектры неорганических и координационных соединений: пер. с англ. Л.В. Христенко / под ред. Ю.А. Пентина. М.: Мир, 1991. 536 с.
- 14. Hubert-Pfalzgraf L.G. // J. Materials Chem. 2004. V. 14. P. 3113–3123.
- 15. Nikonova O.A., Seisenbaeva G.A., Kessler V.G., Shcheglov P.A., Drobot D.V. // Russian Journal of Inorganic Chemistry. 2007. V. 52. Iss. 11. P. 1687–1693.
- 16. Гумеров Ф. // The Chemical Journal. Октябрь 2008. С. 26–30.
- 17. Смирнова К.А., Фомичев В.В., Дробот Д.В., Никишина Е.Е. // Тонкие химические технологии. 2015. Т. 10. № 1. С. 76–83.
- 18. Чистяков А.В. Превращение спиртов в алифатические углеводороды в присутствии гетерогенных катализаторов, содержащих наноразмерные моно- и биметаллические активные компоненты: дис. . . . канд. хим. наук. М., 2010. С. 6–20.
- 19. Карпов Ю.А., Савостин А.П., Сальников В.Д. Аналитический контроль в металлургическом производстве. М.: Академкнига, 2006. 352 с.
- 20. Топор Н.Д., Огородова Л.П., Мельчакова Л.В. Термический анализ минералов и неорганических соединений. М.: Изд-во МГУ, 1987. 188 с.
- 21. Хабас Т.А., Вакалова Т.В., Громов А.А., Кулинич Е.А. Рентгенофазовый анализ: методические указания. Томск: ТПУ, 2007. 40 с.
- 22. Ким Д.Г., Вершинина Е.А., РыбаковаА.В., Фролова Т.В. Лабораторные работы по органической химии: учебное пособие. Челябинск: Издательский центр ЮУрГУ, 2010. 230 с.
- 23. Тарасевич Б.Н. ИК-спектры основных классов органических соединений. Справочные материалы. М.: МГУ, 2012. 54 с.

- 9. Drobot D.V., Shcheglov P.A., Nikishina E.E., Lebedeva E.N., Zimina G.V., Smirnova I.N., Fomichev V.V. // Vestnik MITHT [Fine Chem. Tech.]. 2006. V. 1. № 6. P. 5–15.
- 10. Drobot D.V., Shcheglov P.A., Nikishina E.E., Lebedeva E.N. // Neorganicheskie materialy (Inorganic Materials). 2007. V. 43. № 5. P. 1–9.
- 11. Shcheglov P.A. Mono-, bi- i trimetallicheskie oksoalkoksoproizvodnye (sintez, svojstva i primenenie) (Mono-, bi- and three-metallic oxoalkoxide (synthesis, properties and applications): abstracts of dissertation . . Ph.D. (Chem.). Moscow, 2002. 25 p.
- 12. Turova N.Ya., Korolev A.V., Tchebukov D.E., Belocon A.I., Yanovsky A.I., Struchkov Yu.I. // Polyhedron. 1996. V. 15. № 21. P. 3869–3880.
- 13. Nakamoto K. Infrakrasnye spektry neorganicheskih i koordinacionnyh soedinenij (Infrared Spectra of Inorganic and Coordination Compounds): transl. from Engl. L.V. Hristenko / Ed. by. Yu.A. Pentin. M.: Mir, 1991. 536 p.
- 14. Hubert-Pfalzgraf L.G. // J. Materials Chem. 2004. V. 14. P. 3113–3123.
- 15. Gumerov F. // The Chemical Journal. October, 2008. P. 26–30.
- 16. Nikonova O.A., Seisenbaeva G.A., Kessler V.G., Shcheglov P.A., Drobot D.V. // Rus. J. Inorgan. Chem. 2007. V. 52. Iss. 11. P. 1687–1693.
- 17. Smirnova K.A., Fomichev V.V., Drobot D.V., Nikishina E.E. // Tonkie khimicheskie tekhnologii (Fine Chemical Technologies). 2015. V. 10. № 1. P. 76–83.
- 18. Chistyakov A.V. Prevrashhenie spirtov v alifaticheskie uglevodorody v prisutstvii geterogennyh katalizatorov, soderzhashhih nanorazmernye mono- i bimetallicheskie aktivnye komponenty (The conversion of alcohols into aliphatic hydrocarbons in the presence of heterogeneous catalysts containing nanosized mono and bimetallic active components): dissertation Ph.D. (Chem.). Moscow, 2010. P. 6–20.
- 19. Karpov Yu.A., Savostin A.P., Sal'nikov V.D. Analiticheskij kontrol' v metallurgicheskom proizvodstve (Analytical control in metallurgical production). M.: Akademkniga, 2006. 352 p.
- 20. Topor N.D., Ogorodova L.P., Mel'chakova L.V. Termicheskij analiz mineralov i neorganicheskih soedinenij (Thermal analysis of minerals and inorganic compounds). M.: MGU Publ., 1987. 188 p.
- 21. Khabas T.A., Vakalova T.V., Gromov A.A., Kulinich E.A. Rentgenofazovyj analiz: (X-ray analysis : guidelines). Tomsk: TPU, 2007. 40 p.
- 22. Kim D.G., Vershinina E.A., RybakovaA.V., Frolova T.V. Laboratornye raboty po organicheskoj himii (Laboratory works on the organic chemistry: a tutorial). Chelyabinsk: Publ. Center YuUrGU, 2010. 230 p.
- 23. Tarasevich B.N. IK spektry osnovnyh klassov organicheskih soedinenij. Spravochnye materialy. (IR spectra of general classes of organic compounds). M.: MGU Publ., 2012. 54 p.